

## تحسين كفاءة الخلية الشمسية بالتشعيع النيوتروني والتلدين الحراري

صبحي سعيد الراوي\* راجحة رشيد القره غولي\*\* وسن علي الطائي\*\*\*

تاريخ قبول النشر ٢٠٠٦/١٠/٣

## الخلاصة :

يهدف هذا البحث الى دراسة تأثير كل من النيوترونات بطاقة تتراوح ما بين (4-8)MeV والتلدين الحراري على كفاءة الخلايا الشمسية لمادة السليكون الاحادي البلورة حيث تمت دراسة الخصائص الكهربائية (I-V) لهذه الخلايا في حالتها الظلام والاضاءة قبل وبعد التشعيع وباستخدام المصدر النيوتروني ( $^{241}\text{Am}$ ) . كذلك تمت دراسة الخصائص الكهربائية (I-V) للخلايا الشمسية قبل وبعد التلدين . كانت اعلى زيادة وصلت اليها الكفاءة بعد التشعيع بالنيوترونات السريعة هي 3.81% اما اعلى زيادة في الكفاءة بعد التلدين فكانت 0.72% .

## المقدمة :

الفوتونات مساوية الى طاقة الفجوة فان هذه الاشعة سوف تعاني امتصاصا من السطح العلوي مؤدية بذلك الى تولد ازواج (الكثرون- فجوة) والتي تؤدي بدورها الى حدوث التيار الضوئي (Photocurrent) [ 3 ] . ان هذه الازواج تميل الى الاتحاد عند وجود مراكز اتحاد (Recombination centers) والتي تمثل مراتب وسيطة ما بين حزمة التوصيل وحزمة التكافؤ . هذه المراكز يمكن اعتبارها مصائد او بئر من الطاقة (Energy Well) يقع فيها الالكترونات او الفجوة لفترة وجيزة ثم تأتي الشحنة المضادة الى ذات المكان فيحدث الاتحاد [ 4 ] . في حالة كون طاقة الفوتونات الساقطة اكبر من طاقة الفجوة فان جزءا من هذه الطاقة يمتص لنقل الالكترونات من حزمة التكافؤ الى حزمة التوصيل مما يقلل احتمالية اعادة الاتحاد لذا فان الطاقة الاعلى كفاءة في انتاج التيار الضوئي هي طاقة الفوتونات الاعلى من طاقة الفجوة [ 3 ] .

بالاضافة الى الاشعاعات الكهرومغناطيسية ومنها الضوئية فان هناك قسمان من الاشعاعات الاخرى تدعى بالاشعاعات المؤينة والتي تقسم عادة الى قسمين:

- 1- الاشعاعات المؤينة المباشرة : وهي عبارة عن جسيمات مشحونة مثل جسيمات الفا وبيتا .
- 2- الاشعاعات المؤينة غير مباشرة : كالفوتونات والنيوترونات [ 5 ] .

تعتبر النيوترونات جسيمات متعادلة الشحنة لها القابلية على اختراق الغيمة الالكترونية والوصول الى النواة ، ونتيجة لتفاعل النيوترون مع النواة فقد يحدث امتصاص للنيوترون القاصف وبصورة عامة تصنف تفاعلات النيوترون مع المادة كما يأتي :

يتزايد الاهتمام بالطاقة الشمسية يوما بعد اخر كونها تمثل البديل الاهم لتغطية النقصان في مصادر الطاقة التقليدية ، حيث تتركز البحوث على كيفية استغلال الطاقة الشمسية لتصنيع المزدوجات الحرارية والمجمعات والخلايا الشمسية لتحويل الطاقة الشمسية الى طاقة حرارية او كهربائية .

تم تصنيع اول خلية شمسية عام 1954 م من قبل Chapin وجماعته وبكفاءة تحويل تقارب 6% بعدها جرت محاولات عديدة لتحسين كفاءة الخلية للوصول الى كفاءة تقارب 19% [1].

## النظرية:

من المعروف ان للطاقة اشكال متعددة على ان اكثر ما يهمنا من اشكال الطاقة في مجال الطاقة الشمسية ، هي الطاقة الاشعاعية والتي يتم تحويلها الى طاقة كهربائية عن طريق :

- 1 - التحويل المباشر : وتتم بواسطة الخلايا الشمسية (الفولطاضوئية) .
- 2 - التحويل غير المباشر : كطريقة التحويل الايوني الحراري .
- 3 - الطريقة الكهروحرارية [ 2 ] .

عند سقوط اشعة ضوئية ذات طول موجي مناسب على شبه موصل فان هناك ثلاث حالات لتفاعل هذه الاشعة مع هذا الشبه الموصل يمكن ان تحدث:

اذا كانت طاقة الفوتونات الساقطة اقل من طاقة الفجوة فان هذه الاشعة سوف لن تمتص بسبب عدم قدرة هذه الطاقة على نقل الالكترونات الى مستوى اعلى من مستوى الطاقة الممنوعة وبهذا فانها اما تنعكس عن السطح او تنفذ الى الحزمة الاخرى . اما اذا كانت طاقة

\* جامعة تكريت/ كلية العلوم/ قسم الفيزياء

\*\* جامعة بغداد/ كلية العلوم للبنات/ قسم الفيزياء

\*\*\* جامعة النهرين/ كلية العلوم/ قسم الفيزياء

حراريا من خلال عملية التلدين (Annealing) التي تجري غالبا بوجود غاز معين او في الهواء او في الفراغ وفق الحاجة. هذه المعاملة الحرارية تساعد على التقليل من العيوب التركيبية حيث تعطي طاقة حركية لذرات المادة وبهذا ستحاول ان تعيد ترتيبها وتأخذ مكانها ضمن الترتيب الدوري ولكنها في نفس الوقت تتسبب في تكوين او ازالة مستويات موضعية داخل فجوة الطاقة وهذا يؤدي الى تقليل او زيادة مقاومة الغشاء [ 11 ] .

### كفاءة الخلية الشمسية :

وتمثل النسبة بين القدرة الكهربائية المتولدة الى قدرة الضوء الساقط عند نقطة القدرة العظمى لمنحني (التيار - فولتية). انظر شكل ( 1 ) القدرة العظمى  $P_{max}$  تعطى بالعلاقة التالية :

$P_{max} = I_m V_m$  ..... ( 1 )  
حيث  $I_m$  ،  $V_m$  يمثلان تيار وفولتية الحمل عند نقطة القدرة العظمى ، فاذا كانت  $P_{in}$  هي قدرة الأشعة الساقطة على الخلية فان كفاءة الخلية الشمسية (  $\eta$  ) تعطى بالعلاقة الآتية [ 12 ]

$$\eta = ( P_{max} / P_{in} ) \times 100\%$$

$$\eta = ( I_m V_m / P_{in} ) \times 100\%$$

### الجزء العملي :

1- التشعيع  
شعبت نماذج من الخلايا الشمسية الجاهزة المصنعة من شركة المنصور بالنيوترونات السريعة المنبعثة من المصدر النيوتروني ( $Am$ -  $^{241}Be$ ) ذات فيض (Flux) مقداره  $(7.9 \times 10^5)$   $n/cm^2$  ولفترات زمنية مختلفة و كما موضح في الجدولين ( 1 ) ، ( 2 ) .

2- التلدين  
تم تلدين الخلايا الشمسية باستخدام الفرن الحراري نوع (Carbolite) في الفراغ وتحت ضغط  $10^{-3}$  mbar

ولمدة (30 min) كما موضح في الجدولين (3) ، (4) كما تم تلدين خلية ( $S_3$ ) المشعة بعد وصولها الى حالة الاستقرار ولمدة (30 min) انظر الجدولين (5) ، (6) .

تم قياس الخصائص الكهربائية ( $I-V$ ) في الحالتين عند الإضاءة والظلام وكذلك قبل وبعد التشعيع والتلدين باستخدام مصدر ضوئي ، مصباح هالوجين نوع (Phillips) ذات قدرة (120 watt) موضوع على مسافة ثابتة عن الخلية .

1 - تفاعلات الاستطارة :- وتنقسم الى استطارة مرنة وغير مرنة .  
عند تشعيع نموذج ما بنيوترونات سريعة تتراوح طاقتها ما بين (0.5-20) Mev فإن التفاعل الممكن حدوثه هو الاستطارة بنوعيهما المرنة وغير المرنة .

فعندما تكون الطاقة الحركية للنيوترون والنواة محفوظة قبل وبعد التصادم ، فان الاستطارة سوف تكون من النوع المرن ذلك ان سقوط النيوترون على المادة واصطدامه بالنواة سيؤدي الى استطارته بطاقة حركية اقل من طاقته الاصلية لهذا يبقى مجموع الطاقة الحركية محفوظا ذلك ان الطاقة المفقودة سوف تذهب الى نواة الهدف وتتحول الى طاقة حركية للنواة المرتدة بعد التصادم . تعطى طاقة النيوترون بعد التصادم (2) بالعلاقة التالية : [ 6 ]

$E_2 = E_1(A^2 + 2A \cos \Theta + 1)/(A^2 + 1)^2$   
حيث  $E_2$ : طاقة النيوترون بعد التصادم ،  $E_1$ : طاقة النيوترون قبل التصادم ،  $A$ : كتلة النواة .  
اما عندما تكون الطاقة الحركية للنيوترون الساقط ونواة الهدف غير محفوظتان قبل وبعد التصادم ، فان الاستطارة تكون غير مرنة ، يحدث هذا عندما يكون للنيوترون الساقط طاقة كافية بحيث تستطيع ان ترفع نواة الهدف الى مستوى الاثارة الاول (على الاقل) لتعود النواة بعدها الى حالة الاستقرار ببعثها اشعة كما . طاقة النيوترون المستطار تعطى بالعلاقة التالية: [ 8,7 ]  
 $E'_n = E_n - E_1$

2 - تفاعلات الامتصاص :- وتنقسم الى الانشطار النيوتروني والتشعيع النيوتروني  
يحدث الانشطار النيوتروني عندما تمتص النواة النيوترونات ذات الطاقة العالية ، تتكون بذلك نواة مركبة غير مستقرة تنشط بعدها الى نواتين متقاربتين في الكتلة مع انبعاث نيوترونين او ثلاثة واشعة كما يعود السبب في ذلك الى وجود مستويات طاقة للنواة متقاربة ومتعددة حيث يتاح لكل نواة الرجوع الى وضع استقرارها حسب ما اكتسبته من طاقة [ 9 ] .

اما التشعيع النيوتروني فيحدث عند قصف النواة او امتصاصها لنيوترون ذات طاقة مناسبة، مما يسبب في تنشيطها بان يرفع مستوى طاقتها من المستوى الارضي الى مستويات متهيجة اعلى اعتمادا على طاقة النيوترون وطبيعة مادة الهدف [ 10 ] .

لا بد من الإشارة الى انه يمكن ازالة الاجهادات المتولدة في المادة من خلال اعادة ترتيب الانخلاعات او احداث انتشار للشوائب لزيادة الفاعلية الكهربائية لها . يمكن معاملة المادة

## النتائج :

أولاً : خصائص (I-V) في حالة الاضاءة

## 1- التشعيع

الاشكال (1) و (2) و (5) و (6) تمثل خصائص (I-V) قبل وبعد التشعيع لجميع النماذج مع عدم استخدام واستخدام مجهز القدرة على التوالي ولفترات زمنية مختلفة وبجرعة اشعاعية واحدة . يلاحظ وجود زيادة في قيمة تيار الدائرة القصيرة  $I_{sc}$  لكافة الحالات وكذلك زيادة في فولتية الدائرة المفتوحة  $V_{oc}$  للخلايا S1، S3، S5 ولكن مع حصول نقصان طفيف في هذا الجهد لخلية S2 وبقائه ثابتاً لخلية S4 . بهذا ازدياد القدرة العظمى  $P_{max}$  لكافة النماذج وبالتالي زيادة في الكفاءة  $\eta$  كما موضح في الجدول (1) .

لقد تم الحصول من خلال اختيار النموذج (S3) المشع ولفتره (15min) على زيادة في  $I_{sc}$  وهي اعلى زيادة تم الحصول عليها من التشعيع اما الزيادة في  $V_{oc}$  فكانت مساوية الى (0.01 v) وهذا ادى الى زيادة الكفاءة بنسبة (3.81%) .

## 2- التلدين

من معاينة المنحنيات في الشكلين (7) و (8) بدون استخدام مجهز القدرة والشكلين (11) و (12) باستخدامه حيث تمثل هذه المنحنيات خصائص (I-V) قبل التلدين وبعده ولجميع النماذج ، نلاحظ وجود انخفاض في  $I_{sc}$

للمنودجين Sa و Sb مع بقاء قيمة  $V_{oc}$  ثابتة لكليهما وهذا ادى الى انخفاض في القدرة العظمى  $P_{max}$  وبالتالي انخفاض في كفاءة الخلية . اما النموذجين Sc و Sd فقد لوحظ زيادة التيار  $I_{sc}$  لهما كما زادت  $V_{oc}$  الخلية Sc مع بقاء قيمة  $V_{oc}$  ثابتة لخلية Sd وهذا ادى الى زيادة الكفاءة للمنودجين كما موضح في الجدول (3) .

لقد تم الحصول من خلال النموذج Sc الملمدن لفترة (30min) وبدرجة حرارة (300 °C) على زيادة في  $I_{sc}$  كانت بمقدار (4.5mA) وزيادة في  $V_{oc}$  قدرها (0.03v) وهذا ادى الى زيادة في الكفاءة بنسبة 0.72% وهي تمثل اعلى زيادة تم الحصول عليها .

## 3- التشعيع والتلدين

اجري تلدين للخلية S3 المشعة لمدة (15min) بعد استقرارها بدرجة حرارة (300 °C) فلو لوحظ حدوث زيادة في  $I_{sc}$  بمقدار (9.5mA) و  $V_{oc}$  بمقدار (0.01v) وبذلك زادت الكفاءة بنسبة

(1.05%) جدول (5) . وهذا يعني ان التلدين قد استعاد جزءاً من النقصان الذي حصل في كل من  $I_{sc}$  ،  $V_{oc}$  ،  $\eta$  ،  $P_{max}$  بعد ان انخفضت تدريجياً نتيجة التشعيع حتى الوصول الى حالة الاستقرار ، انظر الاشكال (13) و (14) .

لا بد لنا ان نذكر ان خطة البحث الاساسية كانت تشتمل على تشعيع النماذج لجرعات مختلفة اخرى الا ان حدوث عطل في منظومة التشعيع دام لفترة طويلة حال دون ذلك . كذلك لا بد لنا من القول الى ان تشعيع النماذج لم يكن تراكمياً اي ان كل نموذج تم تشعيه على انفراد وللمدة المذكورة ازاءه في الجدول (1) ، ذلك لان النتائج السابقة (التراكمية) بينت ان الزيادة في الكفاءة كانت اقل مما لو تم التشعيع لنفس الفترة وبصورة مستمرة .

ثانياً : خصائص (I-V) في حالة الظلام

## 1- التشعيع

الشكلين (3) ، (4) يوضحان خصائص (I-V) في حالة الظلام لجميع النماذج قبل وبعد التشعيع ، حيث يلاحظ انخفاض تيار الاشباع  $I_0$  مع انخفاض عامل المثالية n لجميع الخلايا (S1) ، (S2) ، (S3) ، (S4) ، (S5) بعد التشعيع المباشر .

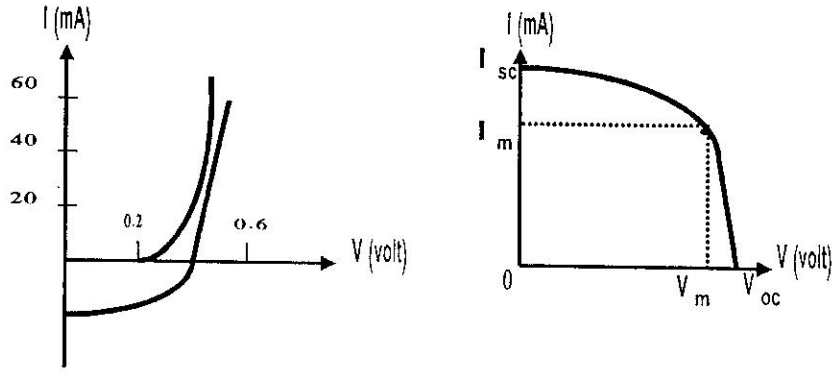
حيث لوحظ من خلال تشعيع خلية S3 ان الانخفاض في قيمة  $I_0$  مساوي الى (0.557mA) والانخفاض في قيمة n مساوي الى (1.96) .

## 2- التلدين

يوضح الشكلين (9) ، (10) خصائص (I-V) الظلامية للخلايا الشمسية المستخدمة قبل وبعد التلدين ، حيث لوحظ ارتفاع قيمة  $I_0$  مع ارتفاع قيمة n بعد التلدين المباشر للخلايا Sa ، Sb مع حصول انخفاض في قيمتي  $I_0$  و n للخلايا Sa و Sd . بالنسبة للخلية Sc فلو لوحظ ان الانخفاض في  $I_0$  و n مساوي الى (0.095mA) (0.85) على التوالي كما موضح في الجدول (4) .

## 3- التشعيع والتلدين

الشكل (15) يوضح خصائص (I-V) الظلامية لخلية S3 المشعة ثم لدنت بعد استقرارها فتم الحصول على انخفاض في قيمة  $I_0$  بمقدار (0.005mA) وانخفاض في قيمة n بمقدار (0.02) انظر الجدول (6) .



الشكل (١)

(a) يمثل منحنى (I-V) للخلية عند الاضاءة بدون استخدام مجهز القدرة .  
 (b) يمثل منحنيات (I-V) للخلية عند الظلام والاضاءة وباستخدام مجهز القدرة .

جدول (1) : يبين خصائص (I-V) في حالة الاضاءة قبل وبعد التشعيع

	Cell.NO	t (min)	Isc (mA)	V <sub>oc</sub> (v)	P <sub>max</sub> (watt)	الزيادة المئوية في η
قبل التشعيع	S1	5	33.7	0.46	0.01169	8.5
بعد التشعيع			49.8	0.48	0.01221	8.88
قبل التشعيع	S2	10	38.2	0.46	0.006118	4.453
بعد التشعيع			39.6	0.45	0.00865	6.29
قبل التشعيع	S3	15	31.4	0.44	0.004086	2.97
بعد التشعيع			43.1	0.45	0.009315	6.78
قبل التشعيع	S4	20	28	0.44	0.00472	3.43
بعد التشعيع			37.3	0.44	0.006854	4.98
قبل التشعيع	S5	25	43	0.29	0.007	5
بعد التشعيع			47.3	0.3	0.00754	5.48

جدول (2) : يبين خصائص (I-V) في حالة الظلام قبل وبعد التشعيع

	Cell. NO	t (min)	I <sub>o</sub> (mA)	n
قبل التشعيع	S1	5	0.14	1.87
بعد التشعيع			0.12	1.85
قبل التشعيع	S2	10	0.25	1.55
بعد التشعيع			0.12	1.35
قبل التشعيع	S3	15	0.6	3.09
بعد التشعيع			0.043	1.13
قبل التشعيع	S4	20	0.19	2.53
بعد التشعيع			0.14	2.16
قبل التشعيع	S5	25	0.019	1.36
بعد التشعيع			0.012	1.22

جدول (3) : يبين خصائص (I-V) في حالة الاضاءة قبل وبعد التشعيع

	Cell.NO	T(°C)	Isc (mA)	V <sub>oc</sub> (v)	P <sub>max</sub> (watt)	الزيادة المئوية في η
قبل التلدين	Sa	100	34	0.48	0.009936	7.23
بعد التلدين			33.4	0.48	0.00816	5.93
قبل التلدين	Sb	200	34.8	0.48	0.01018	7.41
بعد التلدين			34	0.48	0.009454	6.88
قبل التلدين	Sc	300	27.3	0.44	0.007161	5.21
بعد التلدين			31.8	0.47	0.00816	5.93
قبل لتلدين	Sd	400	34.9	0.5	0.010656	7.75
بعد التلدين			36.6	0.5	0.01124	8.09

## النتائج :

أولاً : خصائص (I-V) في حالة الاضاءة

## 1- التشعيع

الاشكال (1) و (2) و (5) و (6) تمثل خصائص (I-V) قبل وبعد التشعيع لجميع النماذج مع عدم استخدام واستخدام جهاز القدرة على التوالي ولفترات زمنية مختلفة وبجرعة اشعاعية واحدة . يلاحظ وجود زيادة في قيمة تيار الدائرة القصيرة  $I_{sc}$  لكافة الحالات وكذلك زيادة في فولتية الدائرة المفتوحة  $V_{oc}$  للخلايا S1، S3، S5 ولكن مع حصول نقصان طفيف في هذا الجهد لخلية S2 وبقائه ثابتاً لخلية S4 . بهذا ازدياد القدرة العظمى  $P_{max}$  لكافة النماذج وبالتالي زيادة في الكفاءة  $\eta$  كما موضح في الجدول (1) .

لقد تم الحصول من خلال اختيار النموذج (S3) المشع ولفتره (15min) على زيادة في  $I_{sc}$  وهي اعلى زيادة تم الحصول عليها من التشعيع اما الزيادة في  $V_{oc}$  فكانت مساوية الى (0.01 v) وهذا ادى الى زيادة الكفاءة بنسبة (3.81%) .

## 2- التلدين

من معاينة المنحنيات في الشكلين (7) و (8) بدون استخدام جهاز القدرة والشكلين (11) و (12) باستخدامه حيث تمثل هذه المنحنيات خصائص (I-V) قبل التلدين وبعده ولجميع النماذج ، نلاحظ وجود انخفاض في  $I_{sc}$

للمنودجين Sa و Sb مع بقاء قيمة  $V_{oc}$  ثابتة لكليهما وهذا ادى الى انخفاض في القدرة العظمى  $P_{max}$  وبالتالي انخفاض في كفاءة الخلية . اما النموذجين Sc و Sd فقد لوحظ زيادة التيار  $I_{sc}$  لهما كما زادت  $V_{oc}$  لخلية Sc مع بقاء قيمة  $V_{oc}$  ثابتة لخلية Sd وهذا ادى الى زيادة الكفاءة للمنودجين كما موضح في الجدول (3) .

لقد تم الحصول من خلال النموذج Sc الملدن لفترة (30min) وبدرجة حرارة (300 °C) على زيادة في  $I_{sc}$  كانت بمقدار (4.5mA) وزيادة في  $V_{oc}$  قدرها (0.03v) وهذا ادى الى زيادة في الكفاءة بنسبة 0.72% وهي تمثل اعلى زيادة تم الحصول عليها .

## 3- التشعيع والتلدين

اجري تلدين للخلية S3 المشعة لمدة (15min) بعد استقرارها بدرجة حرارة (300 °C) فلو حظ حدوث زيادة في  $I_{sc}$  بمقدار (9.5mA) و  $V_{oc}$  بمقدار (0.01v) وبذلك زادت الكفاءة بنسبة

(1.05%) جدول (5) . وهذا يعني ان التلدين قد استعاد جزءاً من النقصان الذي حصل في كل من  $I_{sc}$  ،  $V_{oc}$  ،  $\eta$  ،  $P_{max}$  بعد ان انخفضت تدريجياً نتيجة التشعيع حتى الوصول الى حالة الاستقرار ، انظر الاشكال (13) و (14) .

لا بد لنا ان نذكر ان خطة البحث الاساسية كانت تشمل على تشعيع النماذج لجرعات مختلفة اخرى الا ان حدوث عطل في منظومة التشعيع دام لفترة طويلة حال دون ذلك . كذلك لا بد لنا من القول الى ان تشعيع النماذج لم يكن تراكمياً اي ان كل نموذج تم تشعيه على انفراد وللمدة المذكورة اذاءه في الجدول (1) ، ذلك لان النتائج السابقة (التراكمية) بينت ان الزيادة في الكفاءة كانت اقل مما لو تم التشعيع لنفس الفترة وبصورة مستمرة .

ثانياً : خصائص (I-V) في حالة الظلام

## 1- التشعيع

الشكلين (3) ، (4) يوضحان خصائص (I-V) في حالة الظلام لجميع النماذج قبل وبعد التشعيع ، حيث يلاحظ انخفاض تيار الاشباع  $I_0$  مع انخفاض عامل المثالية n لجميع الخلايا (S1) ، (S2) ، (S3) ، (S4) ، (S5) بعد التشعيع المباشر .

حيث لوحظ من خلال تشعيع خلية S3 ان الانخفاض في قيمة  $I_0$  مساوي الى (0.557mA) والانخفاض في قيمة n مساوي الى (1.96) .

## 2- التلدين

يوضح الشكلين (9) ، (10) خصائص (I-V) الظلامية للخلايا الشمسية المستخدمة قبل وبعد التلدين ، حيث لوحظ ارتفاع قيمة  $I_0$  مع ارتفاع قيمة n بعد التلدين المباشر للخلايا Sa ، Sb مع حصول انخفاض في قيمتي  $I_0$  و n للخلايا Sa و Sd . بالنسبة للخلية Sc فلو حظ ان الانخفاض في  $I_0$  و n مساوي الى (0.095mA) (0.85) على التوالي كما موضح في الجدول (4) .

## 3- التشعيع والتلدين

الشكل (15) يوضح خصائص (I-V) الظلامية لخلية S3 المشعة ثم لدنت بعد استقرارها فتم الحصول على انخفاض في قيمة  $I_0$  بمقدار (0.005mA) وانخفاض في قيمة n بمقدار (0.02) انظر الجدول (6) .

جدول (4) : يبين خصائص (I-V) في حالة الظلام قبل وبعد التلدين

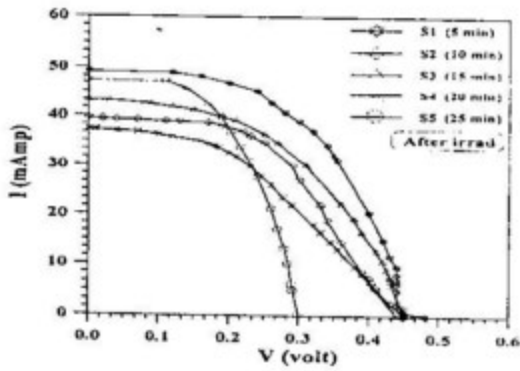
	Cell. NO	T(°C)	Io (mA)	n
قبل التلدين	Sa	100	0.045	1.65
بعد التلدين			0.07	2.03
قبل التلدين	Sb	200	0.16	1.52
بعد التلدين			0.25	2.43
قبل التلدين	Sc	300	0.14	2.41
بعد التلدين			0.045	1.56
قبل التلدين	Sd	400	0.034	1.32
بعد التلدين			0.032	1.31

جدول (5) : يبين خصائص (I-V) في حالة الاضاءة لخلية S3 بعد وصولها الى حالة الاستقرار ثم تلدينها

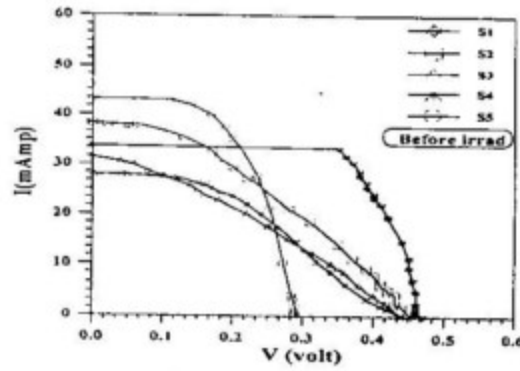
	Cell.NO	t(min)	T(°C)	Isc (mA)	Voc(v)	P <sub>max</sub> (watt)	الزيادة النسبية في η
بعد الاستقرار	S3	15	300	29.1	0.45	0.00494	3.59
بعد التلدين				38.6	0.46	0.006375	4.64

جدول (6) : يبين خصائص (I-V) في حالة الظلام لخلية S3 بعد وصولها الى حالة الاستقرار ثم تلدينها

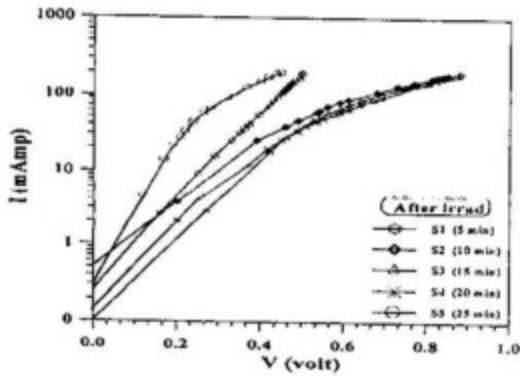
	Cell. NO	t(min)	T(°C)	Io (mA)	n
بعد الاستقرار	S3	15	300	0.05	1.11
بعد التلدين				0.045	1.09



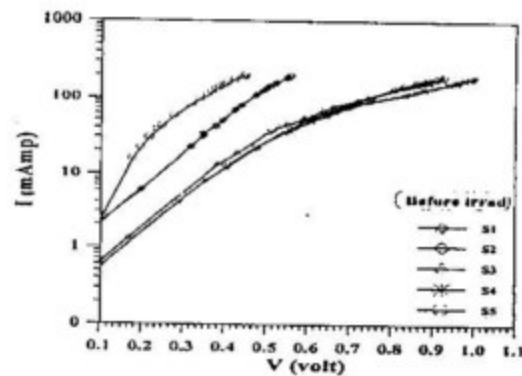
شكل (2): خصائص (I-V) في حالة الاضاءة بعد التشعيع بدون جهاز القدرة .



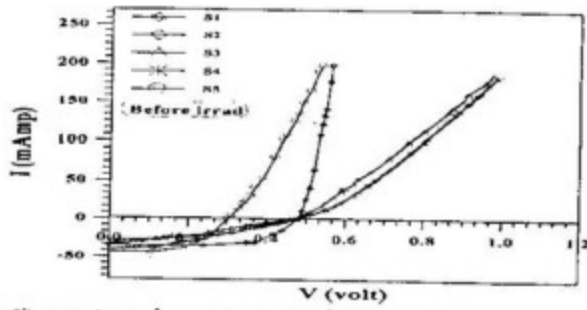
شكل (1): خصائص (I-V) في حالة الاضاءة قبل التشعيع بدون جهاز القدرة .



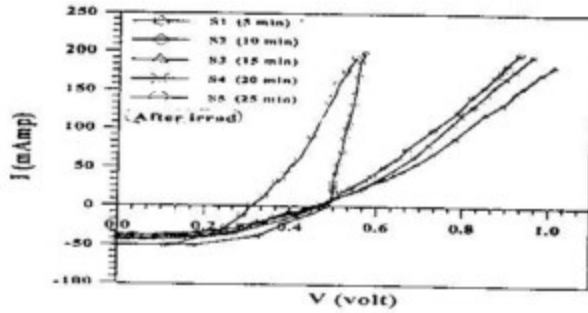
شكل (4) : خصائص (I-V) في حالة الظلام بعد التشعيع باستخدام جهاز القدرة .



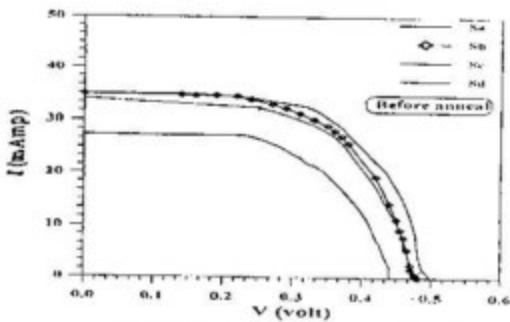
شكل (3) : خصائص (I-V) في حالة الظلام قبل التشعيع باستخدام جهاز القدرة .



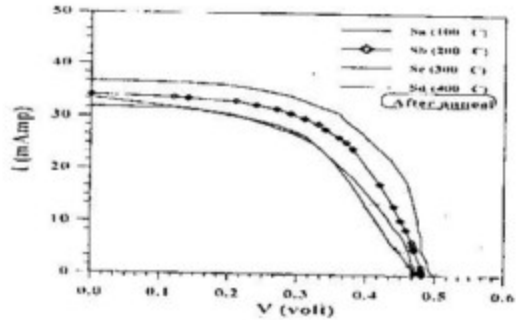
شكل (5): خصائص (I-V) في حالة الأشعة قبل التشميع باستخدام جهاز القدرة.



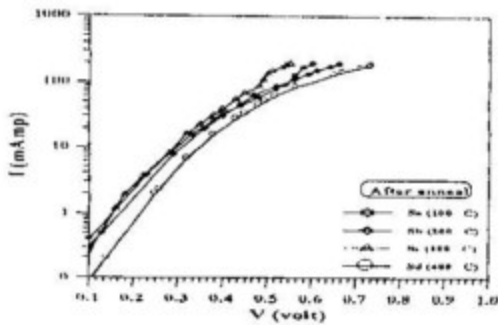
شكل (6): خصائص (I-V) في حالة الأشعة بعد التشميع باستخدام جهاز القدرة.



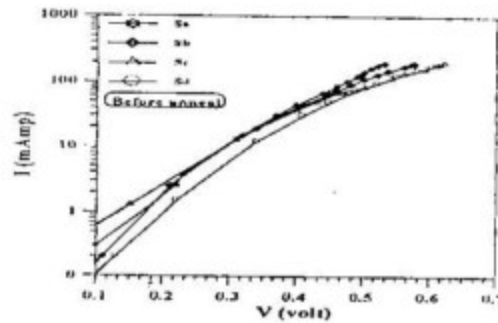
شكل (7): خصائص (I-V) في حالة الأشعة قبل التلدين بدون جهاز القدرة.



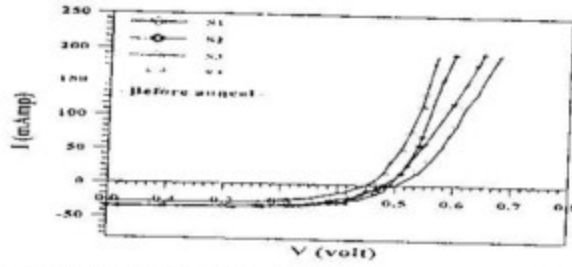
شكل (8): خصائص (I-V) في حالة الأشعة بعد التلدين بدون جهاز القدرة.



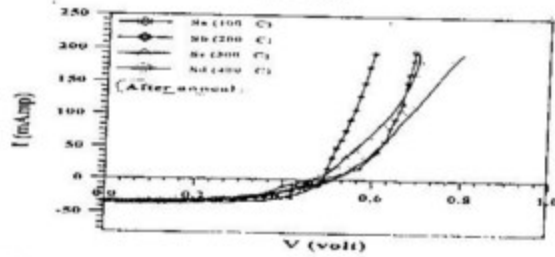
شكل (9): خصائص (I-V) في حالة الصلابة بعد التلدين باستخدام جهاز القدرة.



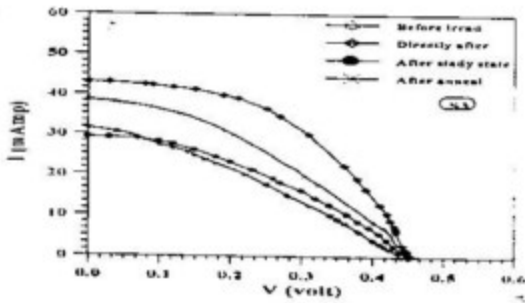
شكل (10): خصائص (I-V) في حالة الصلابة قبل التلدين باستخدام جهاز القدرة.



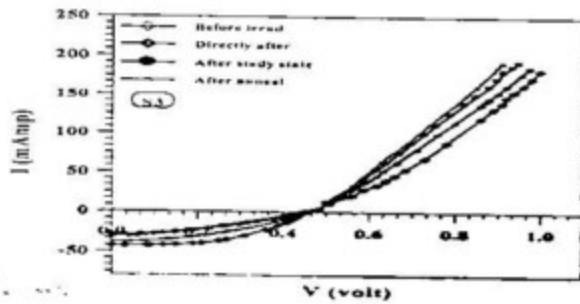
شكل (١١): خصائص (I-V) في حالة الأضواء قبل التلدين باستخدام جهاز القدرة



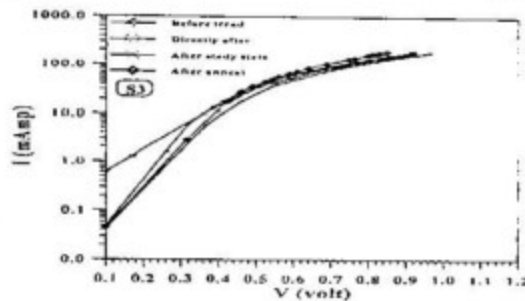
شكل (١٢): خصائص (I-V) في حالة الأضواء بعد التلدين باستخدام جهاز القدرة.



شكل (١٣): خصائص (I-V) في حالة الأضواء خلية (S3) الممددة بعد التشعيع بدون جهاز القدرة.



شكل (١٤): خصائص (I-V) في حالة الأضواء خلية (S3) الممددة بعد التشعيع باستخدام جهاز القدرة.



شكل (١٥): خصائص (I-V) في حالة الظلام خلية (S3) الممددة بعد التشعيع باستخدام جهاز القدرة.



$$V_{oc} = KT/e \ln(1+I_L/I_0)$$

حيث يمثل  $-I_L$  : التيار المتولد ضوئياً ،  $e$  : شحنة الإلكترون

أما بالنسبة الى التلدين في الفراغ فإنه يعمل على طرد الاوكسجين الموجود في المادة وهذا أدى الى انخفاض كل من كثافة الإلكترونات والجهد الحاجز واطلاق سراح الإلكترونات المصطادة مما قاد الى زيادة في كل من تركيز هذه الإلكترونات والتحريرية والتوصيلية وبالتالي زيادة الكفاءة [ 16 ] من جانب اخر فإن المعاملة الحرارية تمكن الإلكترون المتولد حرارياً في الخلايا من اكتساب طاقة حرارية بفعل المجال الكهربائي المسلط بدرجة كافية تسمح له عند الاصطدام بذرة ان يكسر اصرة الشبكة ويولد زوجاً من الإلكترون - فجوة . هذا الزوج المتولد سوف يكتسب طاقة حركية من المجال الكهربائي وبدورة يتمكن من توليد زوج جديد من الكترون - فجوة وهكذا تستمر هذه العملية لتوليد ازواج اخرى وتدعى هذه العملية بالتضاعف التيهوري (Avalanch) وبزيادة درجة الحرارة يزداد عدد الإلكترونات المنتجة حرارياً [ 17 ] وبذلك يزداد عرض منطقة الاستنزاف وطول انتشار الحاملات الاقلية مما يؤدي الى زيادة في تيار الدائرة القصيرة وفولتية الدائرة المفتوحة نتيجة زيادة توليد حاملات الشحنة في منطقة الاستنزاف . يؤدي طول الانتشار العالي الى التقليل من معدل اعادة الاتحاد [ 18 ] مما يزيد من عامل المليء وبالتالي انخفاض في مقاومة التوالي .

وهذا يفسر سبب الاستعادة لخصائص الخلية المشبعة S3 بعد معاملتها حرارياً حيث زاد زمن البقاء وطول الانتشار للحاملات وكفاءة التجميع نتيجة انحلال العيوب المؤقتة وابادة لازواج فرنكل وشوتكي الحادثة [ 19 ] .

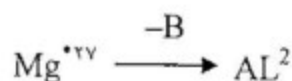
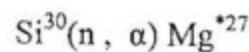
أما سبب الانخفاض للنماذج الملمدة تحت درجات حرارية واطنة فيعود الى ان درجة الحرارة غير كافية لاحداث الطرد الكافي لذرات الاوكسجين من المادة وهذا سبب اختلاف وعدم انتظام في ترتيب الذرات داخل الشبكة البلورية مما أدى الى انخفاض الكفاءة .

ثانياً : خصائص ( I-V ) في حالة الظلام

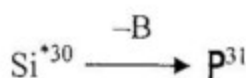
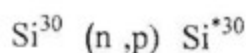
استخدمت معالم الخلية  $I_0$  و  $n$  لتفسير ميكانيكية انتقال التيار في الخلية . فعندما يكون المفروق مثالي اي ان قيمة  $n=1$  يهيمن تيار الانتشار (عند مستويات التيار العالية) في حين تصبح  $n=2$  عندما يكون التيار ناشئ عن اعادة الاتحاد في

## المناقشة :

أولاً : خصائص ( I-V ) في حالة الاضاءة ان الزيادة الحاصلة في التيار بعد تعرض الخلايا الشمسية الى النيوترونات يعود الى طبيعة تفاعل النيوترونات مع هذه النماذج والذي قد يؤدي الى :  
1- زيادة نسبة التطعيم من خلال اضافة ذرات الالمنيوم



بالاضافة الى ذلك تفاعل النيوترون مع  $Si^{30}$  بانحلال بيتا السالبة وتحول الى  $(P^{31})$  وهو يمثل واهب (Donor) [ 13 ]



2- عند سقوط النيوترونات السريعة على المادة فان جزءاً من طاقتها الحركية سوف تتحول الى نواة ذرة الهدف. بذلك فان الإلكترونات في المدارات البعيدة عن النواة (الغلفة الخارجية) والتي تكون طاقة ارتباطها قليلة بالنواة سوف تكتسب طاقة تمكنها من الانفصال عنها مما يحدث زيادة في التيار [ 14 ] .

3- يخلق التشيع النيوتروني عيوب في طبقتي  $n$  و  $p$  حيث يعمل على ازاحة الذرات من مواقعها البلورية الى السطوح مؤدية بذلك الى خلق ما يسمى بعيوب شوتكي . كما يمكن ان تكون الازاحة في الشبكة الى مواقع بينية ما يخلق ازاحة بينية - فراغ وهذا ما يسمى بعيوب فرنكل . ان هذه الذرات المزاحة عن مواقعها تسمى بالذرات الاولية (Primary atoms) والتي بإمكانها عند امتلاك الطاقة الكافية ازاحة ذرات ثانوية اخرى مما يقود الى ظهور فجوات اخرى . ان ظهور هذه العيوب يؤدي الى انتاج مستويات موضعية (Localized energy levels) داخل فجوة الطاقة المحرمة للمادة مما يسبب انخفاضها مع توسع طبقة الاستنزاف ومن ثم زيادة في تيار الدائرة القصيرة  $I_{sc}$  مما يقلل من مقاومة التوالي ثم حصول الزيادة في الكفاءة [ 13, 15 ] .

أما الزيادة في فولتية الدائرة المفتوحة فربطت بانخفاض تيار الاشباع  $I_0$  بالاعتماد على المعادلة التالية :

الإشعاعات المؤينة. مطبعة العالي ، هيئة المعاهد الفنية . وزارة التعليم

7- Langman Dictionary of scientific usage Agodmen /EMF payne Langman Group Ltd, Essex 1979

8- Kaplon, I. 1969, Neutron physics, Addison wesely Inc. Combridge .

9- Dienes G. J , 1969, Studies in radiation effects in solids, 3:128-129 , P.Grodon & Breac, New York , London .

10- Tsoul Fanids, F. N, 1983 , Meaurement and Detection of radiation, London, Mc Graw-Hill .

Hass L.D. 1980, solar Lett , radiation topical overview , Appl . phys . 11- 36:320-2 .

12- Wieder, Sol.1982, An Introduction to solar Energy for scientists and Englineers JohnWiley & Sons .

13- الراوي، صبحي سعيد . الجبوري، شاكـر. حمدي، خالد ، العدد 12 (2) 2001 مجلة كلية التربية للبنات- جامعة بغداد. دراسة تأثير النيوترونات السريعة واشعة كاما على بعض نباتات اشباه الموصلات.

14- حسون، صلاح عبد الله . كاظم، نضالة حسن ياسين ، سمير خضر العدد 11 (3) 2000 . مجلة كلية التربية للبنات- جامعة بغداد . دراسة تأثير اشعة كاما والنيوترونات على كفاءة الخلية الشمسية الاحادية البلورة

15. Yamaquchi, M., Aurangzeb, K. & Stephen, J. T. Koshi, A. & Tsutomu, Ya. 1999, Deep level analysis of radiation-induced defects in si crystals and solar cells , Jornal of Applied physics , 86 :217-223.

16- Mukhopadhyay, K. & Saha, H. , 1981. Effect of Annealing Cds on Asintered Cds/Cu<sub>2</sub> solar cell. Solar Cell, 4 :135-146 .

17 - زي. اس. ام. ١٩٩٠. نباتات اشباه الموصلات فيزياء وتقنية.

منطقة الاستنزاف (عند مستويات التيار الواطئة ) وعندما يكون التياران متقاربان في القيمة فان n تقع بين 1 و 2 (المستويات المتوسطة ) [17]

وبذلك يمكن ان نستنتج من خلال ملاحظة قيم n المستخرجة لكل من التشعيع والتلدين لجميع الخلايا المستخدمة في هذا البحث ، ان ميكانيكية التيار لهذه الخلايا ناتجة عن اعادة الاتحاد في منطقة الاستنزاف .

ان الانخفاض في قيمة I<sub>0</sub> لخلية S3 بعد تشعيها بالنيوترونات ناشئ عن العيوب المتولدة والمذكورة مسبقا مما ادى الى زيادة في كل من المستويات الموضعية وزمن بقاء الحاملات مع انخفاض الجهد الحاجز وهذا قاد الى انخفاض في قيمة n اي انخفاض تيار الاتحاد في منطقة الاستنزاف .

كما وجد ان تلدين خلية Sc ادى الى انخفاض قيمتي I<sub>0</sub> و n وهذا يعود الى ان التلدين في الفراغ سبب طرد الاوكسجين من المادة مما قاد الى انخفاض الجهد الحاجز مع انخفاض معدل اعادة الاتحاد .

وهذا يفسر الانخفاض في قيمتي I<sub>0</sub> و n لخلية S3 المشعة بعد تلدينها حراريا .

بالرغم من ذلك عند مقارنة التغير البسيط في قيم n المقاسة قبل وبعد كل من التشعيع والتلدين للخلايا نلاحظ ثبوت ميكانيكية التيار وبقاءها ناشئة عن اعادة الاتحاد في منطقة الاستنزاف.

#### المصادر:

1- Carlson D.E. , Wronski C.R., 1979, 'Isotopics in applied physics' , Amorphous semiconductor, ed. By M.H. Bordsky, 36:287-329.

Fahrenbruch, A.L. and Bube P.H. 1973.

2- conf . Rec . IEEE photo,spec conf. 10<sup>th</sup> .

3- الغني، د. سامي عبد ، حسون. صلاح عبد الله ، ياسين. سمير خضر، العدد ٤/ ١٩٩٩ . مجلة كلية التربية / الجامعة المستنصرية، دراسة تطوير خلايا شمسية سليكونية احادية انبلورة .

4- والنعمه، محمد وكاع فرحان . انور، مظفر . 2001. ، فيزياء الالكترونات.

5- العارف، د. معن صفاء ، ١٩٩٩، الفيزياء الحياتية الإشعاعية ، ط 1، الاردن .

6- الكنانى، عذاب طاهر نغميش. الخفاجي ، اسعد محمد جعفر ، 1990. الكشف عن

19. Bakirov, M. ya. Madatov, R. S, Musttafaev, Yu. M, gasimov, R. R & Godzhaev, F B, 1988. radiation Effect in silicon high-voltage photovoltaic cells Exposed to electrons with Energy of 5Mev . Geliot ekhnika, 24(5): 76-77 .

18- Bandyopadhyay T.K. & chaudhuri .S.R, 1985. Influence of Annealing Ambients on thin film Cdte for solar energy conersion , phys. Stat. Sol . 5: 92,637

## An Improvement of the efficiency of Solar Cell using neutron Irradiation and Thermal Annealing

\*Al-Ta'ay . W.A.

\*\*Al- Qaraguly. R.

\*\*\*Al-Rawi . S.S.

\* Al-Nahrain Univ/ College of Sciense/ Dept. of Physics.

\*\* Baghdad Univ/ College of Sciense for Women/ Dept. of Physics.

\*\*\* Tikrit Univ/ College of Sciense/ Dept. of Physics.

### Abstract

The aim of this work is to study the effects of the neutrons of energy (4-8 Mev) and also the thermal annealing on the efficiency of a singl crystal silicon solar cell .

Electrical characteristics curves (I-V) are studied for these cells in the dark and illumination befor and after irradiation using the neutron source (  $^{241}\text{Am-Be}$  ) .as well as those before and after annealing .

High efficiency was observed after irradiation (3.81%) and after annealing was (0.72%) .